

تطبيق خوارزمية آسيّة هيرست المحدثة على سلسلة غذائيّة متقطعة الزّمن

محمد أمير حامد* د.ميسون مال الله عزيز*

الملخص

تم في هذا البحث دراسة ثبات التواصل والبعد الكسوري ومؤشر قابلية التنبؤ للسلسلة الغذائية ذات الزّمن المتقطع والمتميزة بنظام ثلاثي ذات المعادلات الفرقية اللاخطية، حيث تم إيجاد المتسلسلة الزمنية للسلسلة الغذائية من خلال التكرارات العددية، وتحليل الاستقرارية وتحديد التوازنات والنقاط الثابتة لهذا النظام الحركي. تم حساب قيم آسيّة هيرست المحدثة (H) لحساب البعد الكسوري (D)، مؤشر قابلية التنبؤ (PI_F) للسلسلة الغذائية. ولمعرفة مدى انتظام هذه السلسلة تم تحليل الخصائص الأساسية للنظام من خلال فضاء الطور، مخططات التشعب، والاختبار الثنائي (0-1) للفوضى، حيث استخدمت لغات البرمجة الحديثة الإصدار maple(16.1) و matlab(7.14). أظهرت نتائج التحليل أن قيم آسيّة هيرست المحدثة للسلسلة الغذائية هي ضد ثبات التواصل في أكثر حالاته، وأن لبعض قيم المعلمات نقطة التوازن الداخلي تفقد استقرارها من خلال مخطط التشعب.

كلمات البحث: آسيّة هيرست، البعد الكسوري، مؤشر قابلية التنبؤ، اختبار(0-1)، سلسلة غذائيّة متقطعة الزّمن.

Application Modified Hurst Exponent algorithm for the discrete-time food chain

Abstract

In this paper, persistence, fractal dimension, and predictability index a discrete-time food chain characterized by three species is modeled by a system of three nonlinear difference equations have been studied, where to find the time series of chain food by numerical iterations, stability analysis, identify equilibrium, and fixed points of this dynamic system. The values of modified Hurst exponent (H), fractals dimension (D), and predictability index (PI_F) for a food chain were calculated. To know the regularity of the chain by phase space, bifurcation diagrams, and the binary (0-1) test for chaos have been analyzed the basic characteristics of the system. Where modern programming languages Version (maple(16.1) and matlab(7.14)) used.

* أستاذ مساعد / قسم الرياضيات / كلية علوم الحاسوب والرياضيات / جامعة الموصل

** باحث/ قسم قسم الرياضيات / كلية علوم الحاسوب والرياضيات / جامعة الموصل

The results of analysis show that the values of modified Hurst exponent is anti-persistent in most cases the food chain, and that some of the values of the parameters internal equilibrium point loses its stability through bifurcation diagrams.

1. المقدمة

(Introduction)

في السنوات الأخيرة أولى الاهتمام الكبير إلى نماذج الزمن المتقطع للمجتمعات في علم الأحياء والبيئة، يمكن القول أن النماذج في الزمن المتقطع الموصوفة على شكل معادلات فرقية أكثر ملائمة من النماذج في الزمن المستمر عندما تمتلك المجتمعات أجيال غير متداخلة (Raj et al., 2013)، وكذلك أكثر ملائمة في تحديد سلوك المدار بواسطة تكرار الدالة لعمليات المحاكاة العددية. نظرية المجتمعات الرياضية والتي تمثل الإيكولوجيا للمجتمعات والتي هي فرع من علم البيئة الذي يستخدم فيه معادلات رياضية لوصف التفاعلات بين الأنواع والتي تعود إلى مالثوس الذي يتناول دراسة المجتمعات من النوع الواحد (Malthus, 1798). فالسلسلة الغذائية هي إحدى العلاقات الأساسية من بين هذه الأنواع في دراسة البيئة، التفاعل يتكون من اثنين أو ثلاثة أنواع في النظام الإيكولوجي ذات الأهمية العملية. على سبيل المثال، يصف نموذج لوكاتا (Lotka, 1925) و فولتيرا (Volterra, 1962) نوعين من التفاعلات في النظام الإيكولوجي، فريسة ومفترس، ليتم تطوير النموذج بشكل مستقل من قبل العديد من علماء الرياضيات هولينك (Holling, 1965) اقترح ثلاثة أنواع من الدوال لنموذج ظواهر الافتراض. بعدها تمت دراسة وكانت النموذج الثاني من قبل العديد من الباحثين لشبكات الغذاء الإيكولوجية أو سلاسل الغذاء التي تحتوي على عدة طبقات. هذه النماذج تشكل الأنظمة الحركية المبددة والتي يمكن أن تمتلك ثلاثة احتمالات حركية متميزة مثل التوازن المستقر، نظام الفوضى، والأبعاد الكسورية. في العقود الماضيين أظهرت بعض من البحوث النظم الحركية المعقدة جدا والتي يمكن أن تنشأ في الزمن المستمر للسلسلة الغذائية من ثلاثة أنواع أو أكثر. على سبيل المثال، أظهرت هاستينغز وباؤل (Hastings & Powell, 1991) حدوث الفوضى في النظم الحركية المستمرة لثلاثة أنواع من نماذج الأغذية، فقد كان ترکز العديد من الباحثين على دراسة نماذج السلسلة الغذائية في حالة الزمن المستمر، ومن الجانب الآخر، كان ترکز العديد من الباحثين على دراسة نماذج السلسلة الغذائية في حالة الزمن المتقطع، لتحول محل مجموعة المعادلات التقاضية عن طريق مجموعة من المعادلات الفرقية التي هي أكثر ملائمة من تلك المستمرة عند التفاعل بين أنواع الأجيال الغير متداخلة. أنظمة الزمن المتقطع يمكن أيضا أن توفر النماذج الحسابية الأكثر كفاءة من تلك المستمرة في عمليات المحاكاة العددية. ورغم كل هذه الدراسات التي ركزت على تحليل الاستقرارية، وتحليل الفوضى لنماذج

السلسلة الغذائية ، فأنه ليس هناك الكثير من الجهود المبذولة لتصنيف السلسلة، وتحليل البعد الكسوري، ومؤشر قابلية التبؤ لنماذج السلسلة الغذائية في الزمن المتقطع كان أو في الزمن المستمر، فكان الدافع لنا للبحث في هذا الموضوع، حيث تم في هذا البحث دراسة نموذج السلسلة الغذائية ذو الزمن المتقطع المقترحة من قبل السعدي (Elsadany, 2012)، حيث تم تنظيم هذا البحث على النحو التالي: وصف نموذج السلسلة الغذائية، وتحليل الاستقرارية من خلال إيجاد النقاط الثابتة الخمسة، وتصنيف متسلسلته الزمنية من حيث ثبات التواصل ان كانت أو عشوائية(Hurst, 1951; Mandelbrot & Wallis, 1969)، مع حساب مؤشر قابلية التبؤ المحسوب من بعد الكسوري المأخوذ من آسية هيرست المحدثة (عزيز&حامد, 2013)، كما تم تحليل الفوضى وتشخيص السلوك من خلال مؤشرات اختبار الثنائي (0-1) للفوضى (Aziz&Faraj, 2012)، فضلاً عن التقنيات البصرية والمحاكاة العددية لفقد استقرارها من خلال مخطط التشعب والاختبارات.

آسية هيرست .2 (Hurst Exponent)

آسية هيرست هي مقياس لذاكرة المدى الطويل (Long-term memory) والبعد الكسوري للمتسلسلة الزمنية (Granero et al., 2008). ولقوة نظامها الأساسي، فقد تم تطبيقها في المجالات الواسعة لتحليل السلسلات الزمنية. مجموعة قيم آسية هيرست تكون بين $H \in [0,1]$.

(Hurst, 1951; Mandelbrot & Wallis, 1969) التعريف(1)

لتكن المتسلسلة الزمنية $\{X_i\}_{i=1}^n$ والتي يمكن تقسيمها إلى عدد قليل من الفترات الجزئية بطول (t) حيث إن ($t = 1, 2, \dots, n$)، فإن آسية هيرست (H) يعرف بأنه السلوك المتقارب للمدى المتغير (Rescaled Range) والذي يرمز له (R_t/S_t) كدالة في الفترة الزمنية من متسلسلة زمنية على النحو التالي:-

$$0 \leq H \leq 1 \quad \text{and} \quad t \rightarrow \infty \quad \text{as}$$

$$E\left[\frac{R_t}{S_t}\right] = C * t^H$$

حيث $E\left[\frac{R_t}{S_t}\right]$ التوقع للمدى المتغير للزمن (t)، (C) هي قيمة ثابتة، (H) هي آسية هيرست.

(Hurst, 1951; Mandelbrot & Wallis, 1969) التعريف(2)

تصنف المتسلسلة الزمنية $\{X_i\}_{i=1}^n$ بأنها ثبات التواصل (persistent)، إذا كانت المتسلسلة متناقصة في الفترة الحالية، ومتناقصة في الفترة المستقبلية مباشرةً، أو إذا كانت المتسلسلة متزايدة في الفترة الحالية، ومتزايدة في الفترة المستقبلية مباشرةً، أي لها سلوك ارتباطي ذاتي إيجابي (Positive autocorrelation).

التعريف(3) (Hurst,1951; Mandelbrot & Wallis,1969)

تصنف المتسلسلة الزمنية $\{X_i\}_{i=1}^n$ بأنها ضد ثبات التواصل (anti-persistent)، إذا كانت المتسلسلة متنافضة في الفترة الحالية، ومتزايدة في الفترة المستقبلية مباشرةً، أو إذا كانت المتسلسلة متزايدة في الفترة الحالية، ومتناقصة في الفترة المستقبلية مباشرةً، أي لها سلوك ارتباطي ذاتي سلبي (negative autocorrelation).

(Rescaled Range)

المدى المتغير

المدى المتغير يستخدم لتقدير آسية هيرست (H). وتشير الدراسات إلى أنه ليس هناك طريقة واضحة لتقدير دقيق لآسية هيرست في جميع الظروف. وقد قدمت هذه الطريقة الأصلية من قبل العالم هارولد أدوبين هيرست (Hurst,1951)، درس سجلات الأمطار المتقلبة وظروف الجفاف لنهر النيل، حيث استطاع هيرست تعريف المسافة المقطوعة لكل وحدة من الزمن أو العينة (t) والتي ستعطى من قبل المدى (R_t)، حيث ان ($X_1, X_2, X_3, \dots, X_t$) تتوافق مع تغير المتغير العشوائي داخل العينة (t)، و \bar{X}_t هو معدل هذه التغييرات، وان المدى (R_t) هو محدد بواسطة الانحراف المعياري (S_t) للعينة في تلك الفترة، والذي ينتج المدى

$$\text{المتغير}_{\text{للعينة}}(t) = \left(\frac{R_t}{S_t} \right)$$

$$\left(\frac{R_t}{S_t} \right)_t = \frac{R_t}{S_t} = \frac{\left[\max_{1 \leq k \leq t} \left(\sum_{j=1}^k (X_j - \bar{X}_t) \right) - \min_{1 \leq k \leq t} \left(\sum_{j=1}^k (X_j - \bar{X}_t) \right) \right]}{S_t}$$

ولكن العالم ماندلبروت (Mandelbrot&Wallis,1969)، هو من اقترح استخدام

$$\text{الإحصائي}(R/S) \text{ من خلال الرسم التخطيطي البياني } \log \left(\frac{R_t}{S_t} \right) \text{ vs } \log(t) \text{ للعلاقة}$$

$$\left(\frac{R_t}{S_t} \right)_t = \log(c) + H * \log(t)$$

ثم إيجاد حل الميل النسبي من الانحدار الخطي، استناداً إلى الأعمال السابقة التي قام بها هيرست عندما أعطى العلاقة $\left(\frac{R_t}{S_t} \right) \approx C * t^H$. حيث ان مؤشر هيرست (H) في طريقة (R/S) يقيس الارتباط الإحصائي للمتسلسلة الزمنية في ثلاثة حالات:-

-1 عندما تكون ($H=0.5$) فالمتسلسلة الزمنية عشوائية، أو مشي عشوائي (walk).

-2 عندما تكون ($0 \leq H < 0.5$) فالمتسلسلة الزمنية ضد ثبات التواصل.

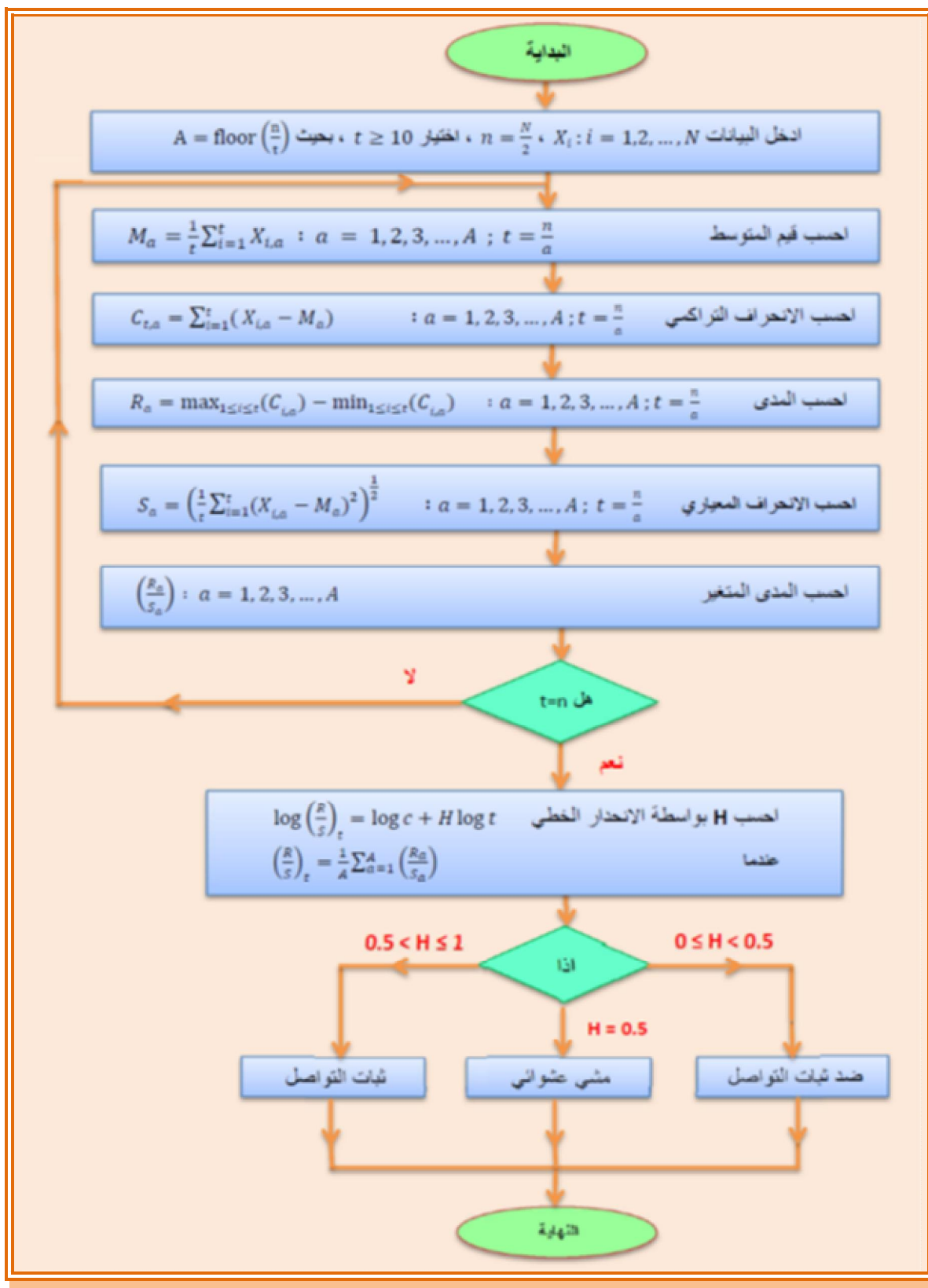
-3 عندما تكون ($0.5 < H \leq 1$) فالمتسلسلة الزمنية ثبات التواصل.

وقد تم تحديد خوارزمية آسية هيرست واختبارها بمقارنتها مع آسية هيرست أعلاه

لاحظ (عزيز& حامد,2013)، والتي يمكن تلخيصها في الشكل (1)

3. وصف النموذج والمنهجية (Model Description and methodology)

الأنظمة الغذائية متقطعة الزمن تم بناء نماذجها في المناطق المعتدلة، وذلك بسبب بيئتها



الموسمية الملائمة. حيث تم اقتراح نموذج للدراسة من هذا النوع من قبل السعدنـي، والمعرف من خلال نظام المعادلات الفرقية اللاخطية متقطعة الزمن لثلاثة أنواع من المستويات، وذلك باعتبار إن السلسلة الغذائية على ثلاثة أنواع من التفاعلات غير متدخلة الأجيال، حيث يفترس النوع X ذي المستوى الأدنى من قبل النوع Y ذو المستوى المتوسط، والذي بدوره يفترس من قبل المستوى الأعلى Z، المعرف من خلال النظام التالي (Elsadany, 2012) :

$$F : \begin{cases} X_{n+1} = aX_n(1 - X_n) - bX_nY_n \\ Y_{n+1} = cX_nY_n - dY_nZ_n \\ Z_{n+1} = rY_nZ_n \end{cases} \dots\dots\dots (1)$$

حيث أن a, b, c, d, r هي معلمات هذا النظام وموجهة دائماً.
فعدنـي (Holling, 1965)، نوع هولينك الأول للمفترس (Y) فعند غياب الافتراس، الفريسة (X) تتم لو جستيا، وهو نوع هولينك الأول للمفترس (Y)، نوع هولينك الأول للمفترس (Z) ذو المستوى الأعلى. المعلمة (a) هي نسبة فعالية نمو الفريسة (X)، المعلمة (b) هي فعالية بحث المفترس (Y)، المعلمة (c) هي افتراس (X) من المفترس (Y)، المعلمة (d) هو فعالية بحث المفترس (Z)، والمعلمة (r) هي افتراس (Y) من المفترس (Z). حيث إن دراسة الخصائص الحركية للنظام (1) يبيـن لنا السلوك على المدى البعـيد للسلسلـة الغذـائية للمجـتمع. والتـكرار في النـظام (1) يكون مـسار وـحـيد من حالـات الإـنتاج المجـتمـعي بالـشكل التـالـي:

$$(X_t, Y_t, Z_t) = F^t(X_0, Y_0, Z_0), t = 0, 1, 2, \dots$$

فبعد إيجاد المتسلسلـة الزـمنـية للسلسلـة الغذـائيـة عن طـريق التـكرار العـدـدي في النـظام (1)، تم حـساب البـعد الكـسوـي (D) للمـتسلسلـة الزـمنـية باـسـتـخدـام الصـيـغـة (Granero et al., 2008) :

$$D = 2 - H \dots\dots\dots (2)$$

ومن ثـم حـساب مؤـشر قـابلـية التـنبـؤ بواسـطـة الصـيـغـة (Mittal & Bhardwaj, 2011) :

$$PI = 2|D - 1.5| \dots\dots\dots (3)$$

بحـيث يـكون مؤـشر قـابلـية التـنبـؤ المتـسلسلـة الزـمنـية للسلسلـة الغذـائيـة يـحسب كـالـأـتـي:

$$PI_X = 2|D_X - 1.5|$$

$$PI_Y = 2|D_Y - 1.5|$$

$$PI_Z = 2|D_Z - 1.5|$$

لـإـيجـاد مؤـشر قـابلـية التـنبـؤ (PI_F) فـانـه يـتم حـسابـها عن طـريق المتـغيرـات التـلـاثـة (X, Y, Z) كـما يـلي:

$$PI_F = (PI_X, PI_Y, PI_Z)$$

حيث أن (PI_F) مؤشر قابلية تبؤ المتسلسلة الزمنية للسلسلة الغذائية، (PI_X) مؤشر قابلية التبؤ للمتغير (X)، (PI_Y) مؤشر قابلية التبؤ للمتغير (Y)، (PI_Z) مؤشر قابلية التبؤ للمتغير (Z)، وان (D) هو البعد الكسوري المحسوب حسب دليل مؤشر قابلية التبؤ.

إذا كان احد عناصر مؤشرات قابلية التبؤ PI_X, PI_Y, PI_Z يقترب من الصفر ، فإن مؤشر قابلية تبؤ المتسلسلة الزمنية للسلسلة الغذائية هي حركة براونية أو عشوائية (**Rehman,2009**)، أما إذا كان احد المؤشرات قيمته مقاربة للواحد فعندما تزداد مؤشر قابلية تبؤ المتسلسلة الزمنية للسلسلة الغذائية .

٤. تحليل الاستقرارية للنقاط الثابتة (Stability analysis of the fixed points)

نظريه النظم الحركية اللاخطية شهدت تطور في العقود الأخيرة من حيث توجدها في تطبيقات المجالات المختلفة بما في ذلك علم الأحياء للمجتمعات، ولذلك فقد اهتم الباحثين بدراسة التحليلية ، وتحليل هذه النظم فان الأسلوب المهم منها هو تحليل سلوك الحلول بالقرب من نقطة التوازن باستخدام الخطية، وان احد هذه المشاكل التي تتطلب الاهتمام بها هي استقرار النظم الإيكولوجية، ولذلك تم دراسة سلوك حلول المعادلات الفرقية اللاخطية، بحيث توفر نقطة التوازن للنظام كنقطة ثابتة غير سالبة من خلال العلاقة التالية:

$$\left. \begin{array}{l} X = aX(1-X) - bXY \\ Y = cXY - dYZ \\ Z = rYZ \end{array} \right\} \dots\dots(4)$$

- فمن خلال حل (4) نحصل على خمسة نقاط ثابتة هي:-

$$P_1 = (0, 0, 0), P_2 = \left(\frac{a-1}{a}, 0, 0 \right), P_3 = \left(\frac{1}{c}, \frac{ac-a-c}{cb}, 0 \right), P_4 = \left(0, \frac{1}{r}, \frac{-1}{d} \right),$$

$$P_5 = \left(\frac{r(a-1)-b}{ar}, \frac{1}{r}, \frac{ar(c-1)-c(b+r)}{adr} \right)$$

يجب حساب القيم الذاتية لمصفوفة جاكوبى (Elaydi,2008). حيث ان مصفوفة جاكوبى J نقطة التوازن الداخلي للنظام. ولدراسة السلوك الحركي للنقاط الثابتة في النظام الثلاثي (1)، فمن الواضح P_1, P_2, P_3, P_4, P_5 هي نقاط التوازن الحدودي (boundary) وان P_5 هي نقطة التوازن الداخلي للنظام.

للنظام (1) للمتغيرات (X, Y, Z) تكون بالشكل الآتى:

$$J(X, Y, Z) = \begin{bmatrix} a(1 - 2X) - by & -by & 0 \\ cY & cX - dz & -dY \\ 0 & rZ & rY \end{bmatrix} \dots\dots(5)$$

وان محددة مصفوفة جاكobi (5) هي

$$|J(X,Y,Z)| = acrXY(1 - 2X)$$

فيقال إن نظام (1) مبدد (dissipative) إذا كانت محددة المصفوفة أقل من واحد (Wiggins,1990) أي:

$$|acrXY(1 - 2X)| < 1 \quad \dots \dots \quad (6)$$

وبما أن معلمات النظام (1) هي موجبة دائما ، وبعد تبسيط (6) نحصل على العلاقة التالية:

$$|XY(1 - 2X)| < \frac{1}{acr} \quad \dots \dots \quad (7)$$

فمن خلال تعويض المعلمات والمتغيرات في (7)، نحصل على معرفة مدى انتظام النظام (1) وهل هو مبدد أم لا. ولدراسة استقرار النقاط الثابتة للنظام (1)، علينا أولا إيجاد القيم الذاتية للنقاط الثابتة، حيث أن هذه القيم تمثل التوازن والاستقرارية، فبت تعويض النقاط الثابتة في (5) نحصل على القيم الذاتية الآتية:-

$$P_1 \xrightarrow{\text{Eigenvalue s}} \lambda_1 = a, \lambda_{2,3} = 0$$

$$P_2 \xrightarrow{\text{Eigenvalue s}} \lambda_1 = 2 - a, \lambda_2 = \frac{c(a-1)}{a}, \lambda_3 = 0$$

$$P_3 \xrightarrow{\text{Eigenvalue s}} \lambda_1 = \frac{r(ar-a-c)}{cb}, \lambda_{2,3} = \frac{2c-a \pm \sqrt{4c^2 + 4ac + a^2 - 4ac^2}}{2c}$$

$$P_4 \xrightarrow{\text{Eigenvalue s}} \lambda_1 = 0, \lambda_2 = 2, \lambda_3 = \frac{ar-b}{r}$$

أما بالنسبة لقيم الذاتية للنقطة الثابتة P_5 فان نتائجها متشعبة جدا.

فمن خلال ملاحظتنا لجميع القيم الذاتية نرى أن جميعها تعتمد اعتمادا رئيسيا على المعلمتين a و c فمن خلالها يمكن معرفة توازن واستقرارية النظام (1)، ولتحديد نوعية النقاط الثابتة للنظام (1)، سوف نستخدم المبرهنة (1).

المبرهنة (1) (Elaydi,2008)

$$F(\lambda) = \lambda^3 + A_1\lambda^2 + A_2\lambda + A_3 = 0 \quad \dots \dots \quad (8)$$

لتكن

هي المعادلة المميزة للمصفوفة (5)، فإن العبارات التالية تكون صحيحا:

- 1 - إذا كانت القيمة المطلقة لكل جذر في المعادلة (8) أقل من واحد، فالنقطة الثابتة للنظام (1) مستقرة محليا بالمحاذات (locally asymptotically) وتسمى بالحوض (sink).
- 2 - إذا كان على الأقل أحدي القيم المطلقة لجذور المعادلة (8) أكبر من واحد، فإن النقطة الثابتة للنظام (1) غير مستقرة وتسمى بالسرج (saddle).
- 3 - إذا كانت القيمة المطلقة لكل جذر في المعادلة (8) أكبر من واحد، فإن النقطة الثابتة للنظام (1) غير مستقرة وتسمى بالمنبع (source).
- 4 - يطلق على النقطة الثابتة للنظام (1) بالزائد (hyperbolic) إذا لم يكن هناك جذور في المعادلة (8) قيمتها المطلقة مساوية للواحدة. أما إذا كان لها جذور في المعادلة (8) قيمتها المطلقة مساوية للواحد فتسمى اللازائد (non-hyperbolic).

5. اختبار الفوضى الثنائي (0-1) (The Binary (0-1) Test for Chaos)

الاختبار الثنائي (0-1) هو اختبار للفوضى والذي تم اقتراحه من قبل العالمين كوتولد وملبورن (Aziz & Faraj, 2012) والتي تم تطبيقها على المتسلسلات الزمنية، حيث إنها لا تحتاج إعادة بناء فضاء الطور، أي أن المدخلات تكون بيانات المتسلسلة الزمنية، والإخراج يكون قيمة قريبة جداً من الصفر عندما يكون فوضوي أو يكون قيمة قريبة جداً من الواحد عندما يكون منظم. هذا الاختبار يمكنه التمييز فقط بين النظام الحركي أو الظاهرة الفيزيائية مستقرة أم فوضوية، وهذا التمييز يكون واضح جداً حسب قيمة المتغير (K_C) وان ما يميزه اتجاه تقاربه إما للصفر أو للواحد. كما يتميز كونه مستقل ولا يعتمد على طبيعة البيانات التي تدخل إلى النظام، أي ليست هناك حاجة لمعرفة معادلات النظام الحركي الذي سيتم اختباره، فقط يحتاج جزء من هذه المشاهدات، فالاختبار الثنائي يتميز أيضاً بتقنية عالية من التمييز الدقيق للانتقال من السلوك الطبيعي (الدورية أو شبه الدورية) إلى حالة من الفوضى، ليكون أفضل من الطرق التقليدي الأخرى.

خوارزمية الاختبار الثنائي (0-1) (Aziz & Faraj, 2012)

لوصف خوارزمية الاختبار، سوف نحتاج الخطوات التالية

- إدخال المتسلسلة الزمنية $X(i), i=1,2,3,\dots,T$
- حساب المتغيرات الاتجاهية

$$q_c(t) = \sum_{i=1}^t X(i) * \sin(i * c), \quad p_c(t) = \sum_{i=1}^t X(i) * \cos(i * c) \quad \dots\dots(9)$$

حيث T ، $c \in (0, \pi)$ ، $t = 1, 2, 3, \dots, T$ وان $p_c(t), q_c(t)$ تكون في حالتين هما

- .أ- مقيدة (bounded) إذا كانت السلسلة منتظمة (دورية، شبه دورية (quasi periodic).
- ب- تسلك سلوكاً محاذاً مشابه للحركة البراونية أو خطياً إذا كانت المتسلسلة فوضوية.
- 3- حساب متوسط مربع الإزاحة ($M_c(t)$) للمتغيرات الاتجاهية $(p_c(t), q_c(t))$ المعرفة في (9) لبعض قيم $(0, \pi)$ حيث إن $(M_c(t))$ معرف بالعلاقة التالية:-

$$M_c(t) = \lim_{T \rightarrow \infty} \frac{1}{T} \sum_{i=1}^T \left[[p_c(i+t) - p_c(i)]^2 + [q_c(i+t) - q_c(i)]^2 \right] \dots\dots(10)$$

ولحساب متوسط مربع الإزاحة الجديدة ($M_c(t)$) من خلال التعويض والتبسيط باستخدام العلاقة:

$$M_c(t)_{new} = M_c(t)_{old} - \frac{1 - \cos(tc)}{1 - \sin(tc)} \left(\lim_{T \rightarrow \infty} \frac{1}{T} \sum_{j=1}^T E(j) \right)^2$$

نلاحظ أن هذا التعريف يتطلب T لحساب متوسط مربع الإزاحة ($M_c(t)$) مباشرة باستخدام (10). موفرين الحد الأقصى عن طريق حساب ($M_c(t)$) فقط لـ $t \leq t_{cut} < T$ ، حيث t_{cut} .

من الناحية العملية نجد أن $T/10 = t_{cut}$ تعطي نتائج جيدة. وان $(M_c(t))$ تكون إحدى الحالتين:-

أ - $M_c(t)$ هو ينمو خطيا مع الزمن، أي فوضوي.

ب - $M_c(t)$ هو مقيد مع الزمن، أي منتظم.

4 - أسلوب الانحدار يتكون من الانحدار الخطي للرسم البياني لـ $M_c(t)$ المتمثل لـ $\log\log$.

وبالتالي فإن معدل النمو يكون محاذيا لـ (K_c) التي تعطى بواسطة العلاقة:-

$$k_c = \lim_{t \rightarrow \infty} \frac{\log M_c(t)}{\log(t)}$$

عديا، يتم تحديد (K_c) عن طريق تركيب خط مستقيم للرسم البياني من $\log M_c(t)$ عكس $\log(t)$ مع تقليل الانحراف المطلق.

5 - نحسب (K) التي هي الأوسط للقيم والتي يرمز لها (K_c) حيث إن $(c \in (0, \pi))$ فإذا:-

أ - $K \approx 1$ فان السلسلة الزمنية فوضوية.

ب - $K \approx 0$ فان السلسلة الزمنية منتظمة.

(Bifurcation Diagrams)

6. مخططات التشعب

مخططات التشعب هي إحدى الطرق لعرض النقاط المتكونة من تفرع عائلة المعلمات للدالة أو نظام المعادلات والتي تعطي السلوك عند التكرارات العليا لكل قيم معلمات التشعب، وتعتبر من التقنيات البصرية الجيدة لمشاهدة الفوضى، فالبيانات وحدها من الصعب أن نستنتج منها ما إذا كان السلوك منتظم أم فوضوي، فإذا كانت التشعبات تتكرر عند تغيير معلمة التشعب ، ذلك يؤدي إلى السلوك الفوضوي ، حيث المتسلسلة الزمنية المتولدة تمثل في المحور العمودي ، بينما المحور الأفقي يمثل عائلة معلمة التشعب .

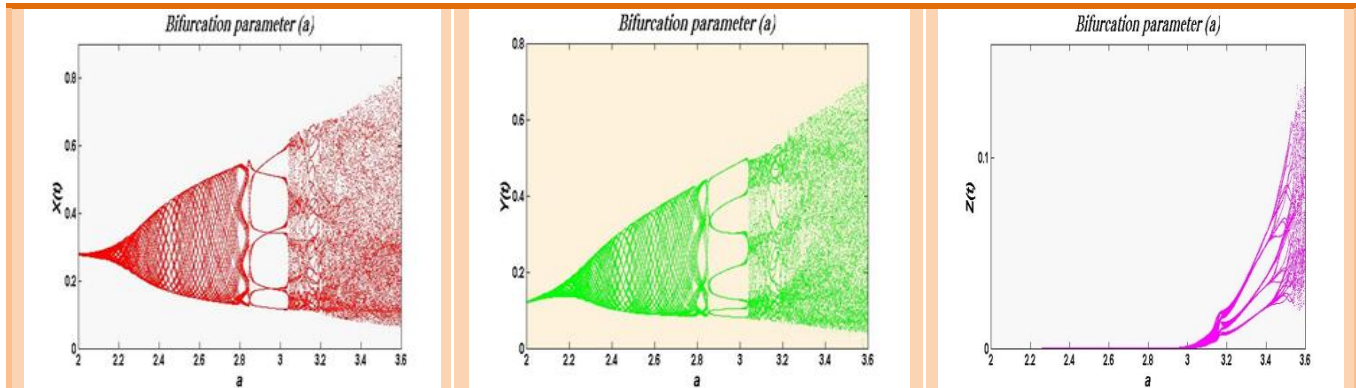
(Numerical Simulations)

7. المحاكاة العددية

بعد دراسة الجانب النظري للبحث، ولمعرفة مدى استقرارية النظام (1)، حيث أننا نتعامل مع تطبيق ثلاثي لا خطى، إذ أن الأدوات النظرية لإثبات وجود السلوك الفوضوي في ثلاثي الأبعاد لا تزال ضعيفة للغاية حتى الآن، لذلك قمنا بإيجاد بعض نتائج المحاكاة العددية للتحقق من وجود الفوضى والتشعبات من خلال الحلول الدورية الناشئة من التشعب المقطعي وإظهار أهمية وتعقيد بعض السلوكيات الحركية في الزمن المقطعي للسلسلة الغذائية، وإيجاد النتائج تم استخدام لغات البرمجة الحديثة الإصدار (16.1) maple و (7.14) matlab. فمن خلال دراسة الاستقرارية للنظام (1) وجذنا ان هذا النظام يعتمد على معلمتين رئيسيتين للتشعب هما a و c .

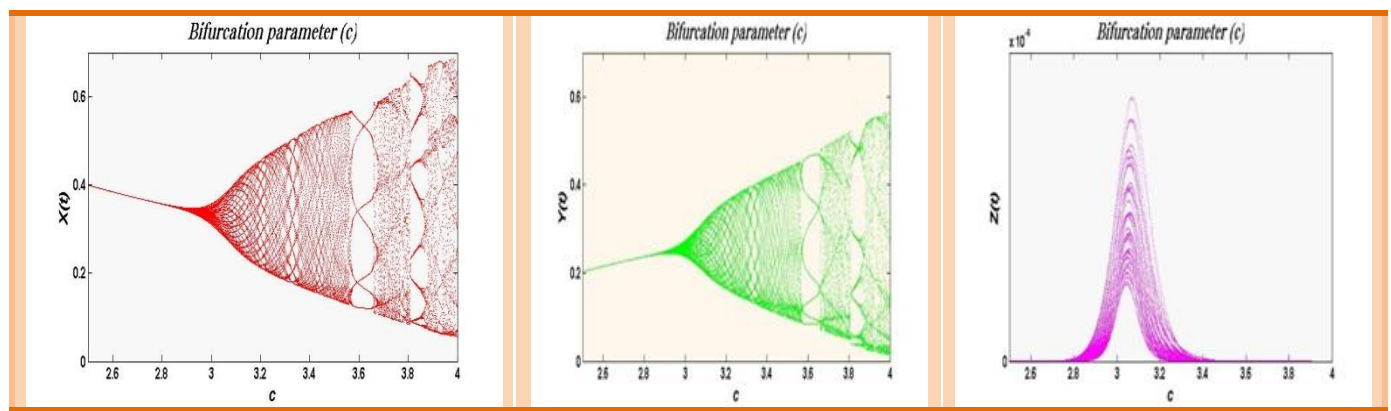
تطبيق خوارزمية آسيّة هيرست المحدثة على سلسلة غذائية متقطعة الزمن

لإيجاد تشعب المعلمـة a ، تم تثبيـت المعلمـات $r=3.8$ ، $d=3.5$ ، $c=3.6$ ، $b=3.7$ مع تغيـير في المعلمـة a ضمن الفـترة $[2.1, 3.6]$ بمقدار زـيادة 0.001، أما بالـنسبة للمـتغيرـات الـثلاثـة مع الشـروط الأولـية فـهي $(X_0, Y_0, Z_0)=(0.3, 0.2, 0.1)$ انـظر إلـى الشـكل (2).



الشكل (2): مخطوطات تشعب السلسلة الغذائية بالنسبة للمتغيرـات (x, y, z) عندما تكون المعلمـات $r=3.8$ ، $d=3.5$ ، $c=3.6$ ، $b=3.7$ مع تغيـير في المعلمـة a .

من خـلال هذه المـخطـوطـات نـرى التـوازن الدـاخـلي للمـعلمـة a ضمن الفـترة $[2.8, 3]$ والتي تمـثل النـقـطة الثـابـتـة P_5 المعـقدـة في حـساب استـقرـاريـتها. أما بالـنـسبة لـتشـعب المـعلمـة c ، تم تـثـبـيت المـعلمـات $r=3.8$ ، $d=3.5$ ، $b=3.7$ ، $a=2.92$ مع تـغـيـير في المـعلمـة c ضمن الفـترة $[2.5, 4]$ بمقدار زـيادة 0.001، أما المـتغيرـات الـثلاثـة فـهي مع تـشـبه الشـروط الأولـية السـابـقة انـظر إلـى الشـكل (3).



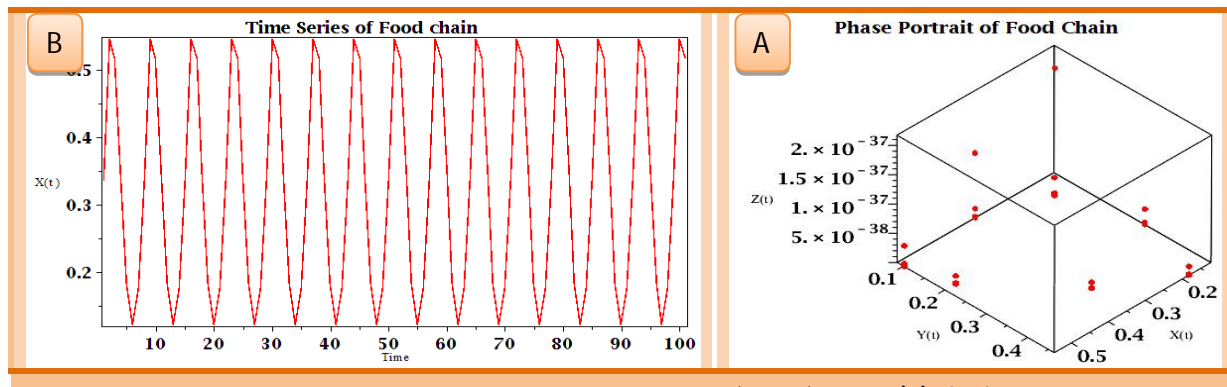
الشكل (3): مخطوطات تشعب السلسلة الغذائية بالنسبة للمتغيرـات (x, y, z) عندما تكون المعلمـات $r=3.8$ ، $d=3.5$ ، $b=3.7$ ، $a=2.92$ مع تغيـير في المعلمـة c .

حيـث نـرى من خـلال المـخطـوطـات التـوازن الدـاخـلي للمـعلمـة c ضمن الفـترة $[3.55, 3.65]$ والتي تمـثل النـقـطة الثـابـتـة P_5 المعـقدـة.

فـمن خـلال هذه المـخطـوطـات التـشـعب يـمـكـنـنا من تمـيـز حالـات الـفـوضـى من الـانتـظـام بـسـهـولة أكثر، حيث يـمـكـنـنا أن نـرى استـقرـاريـة النـقـطة الثـابـتـة P_5 من خـلال هذه المـخطـوطـات عـندـما

$r=3.8, d=3.5, c=3.6, b=3.7, a=2.92$ ، حيث يكون فضاء الطور لها منتظمة، والتي

سوف نقوم بالاختبارات عليها، انظر إلى الشكل (4).

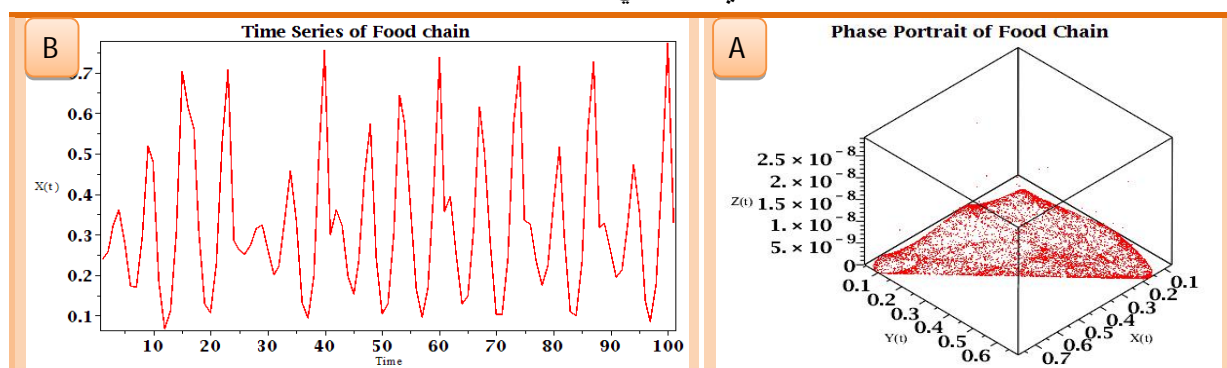


الشكل (4) : السلسلة الغذائية عندما $r=3.8, d=3.5, c=3.6, b=3.7, a=2.92$

(A) فضاء الطور بالأبعاد الثلاثية ، (B) المتسلسلة الزمنية لـ 100 تكرار .

كما يمكننا رؤية عدم الاستقرارية عندما $r=3.8, d=3.5, c=3.6, b=3.7, a=3.55$

، بحيث يكون فضاء الطور لها فوضوي، كما في الشكل (5).

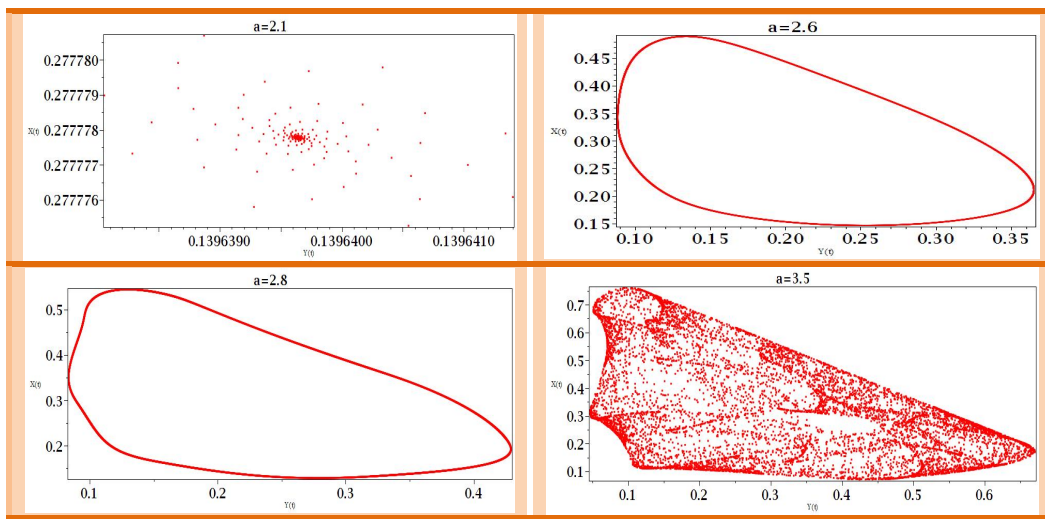


الشكل (5): السلسلة الغذائية عندما $r=3.8, d=3.5, c=3.6, b=3.7, a=3.55$

(A) فضاء الطور بالأبعاد الثلاثية ، (B) المتسلسلة الزمنية لـ 100 تكرار .

فزيادة معلمة السيطرة ($a=3.1$) يؤدي إلى جعل النقطة الثابتة P5 غير مستقرة، وإنشاء

منحنى مغلق ثابت حول النقطة ثابتة، انظر إلى الشكل (6).

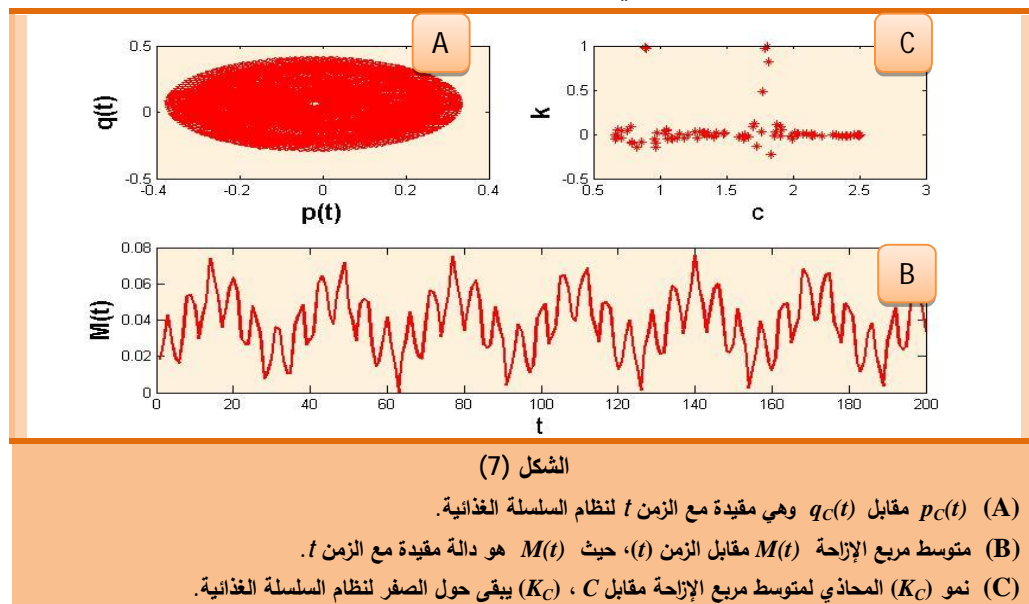


الشكل (6): نمو وتشتت فضاء الطور للسلسلة الغذائية لـ $X(t)$ مقابل $Y(t)$ عند تغير المعلمة a .

(Chaotic test of food chain)

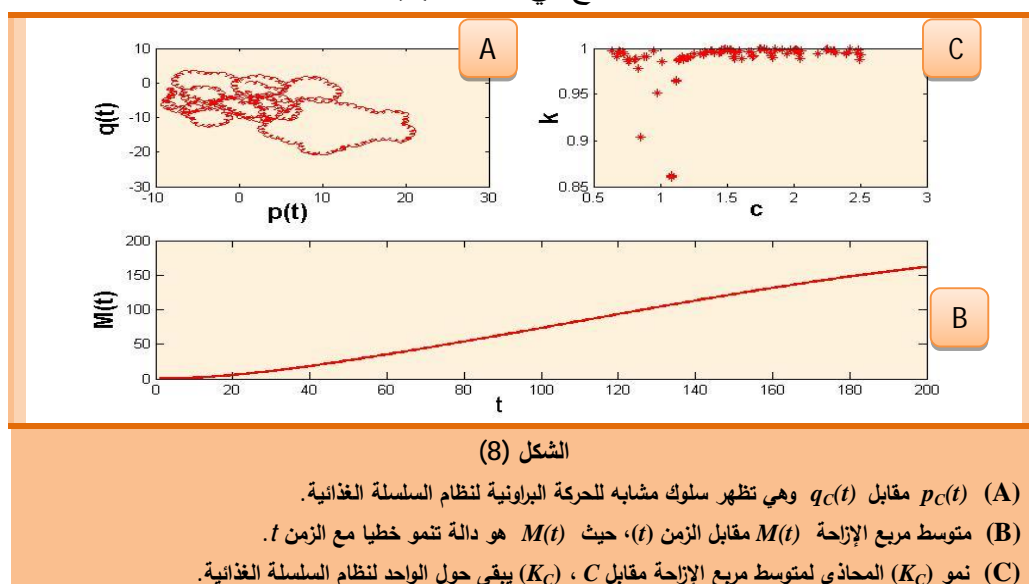
8. اختبار فوضوية السلسلة الغذائية

إن السلسلة الغذائية تتمتع ببنية تركيبية باللغة التعقيد والتي تجعل من الصعوبة تحليل تلك السلسلة وتحديد فيما إذا كان السلوك فوضوي أم غير فوضوي، تم إجراء اختبار الثنائي (1-0) للفوضى والذي يتميز بإمكانية تطبيقه على أي مشاهدات حركية بدون الحاجة إلى إعادة بناء فضاء الطور، وعند الاختبار تبين أن سلوك السلسلة الغذائية منتظمة $0 \approx K = 0.002$ عندما $a=2.92, b=3.7, c=3.6, d=3.5, r=3.8$ مع الشروط الأولية . كما في الشكل (7). $(X_0, Y_0, Z_0)=(0.3, 0.2, 0.1)$



كما إن السلوك للسلسلة الغذائية فوضوية عندما $a=3.55, b=3.7, c=3.6, d=3.5$ ،

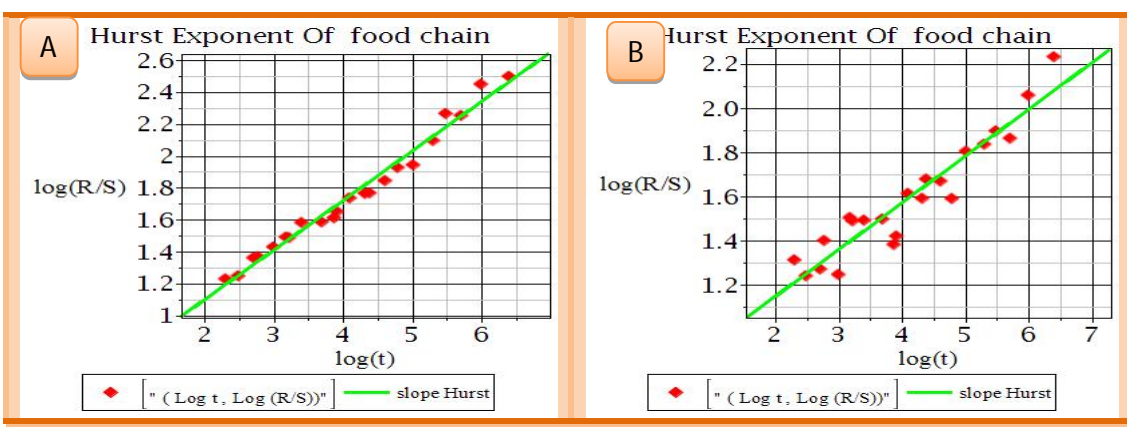
. كما موضح في الشكل (8).



9. البعد الكسوري ومؤشر قابلية التنبؤ للسلسلة الغذائية

(The fractal dimension and predictability index of the food chain)

في هذا الجزء تم حساب البعد الكسوري ومؤشر قابلية التنبؤ للسلسلة الغذائية من خلال خوارزمية آسيّة هيست المحدثة، وذلك بأخذ المتسلسلة الزمنية للسلسلة الغذائية المكونة من 1200 قيمة عدديّة لتحديد فيما إذا كانت المتسلسلة ثبات التواصل أم ضد ثبات التواصل. إذ انه باستخدام آسيّة هيست المحدثة في حالة كون $a=2.92$, $b=3.7$, $c=3.6$, $d=3.5$, $r=3.8$ مع الشروط الأوليّة لها $(X_0, Y_0, Z_0)=(0.3, 0.2, 0.1)$ فالمتسلسلة في هذه الحالة تكون ضد ثبات التواصل لأن آسيّة هيست $(H_x, H_y, H_z)=(0.22, 0.217, 0.182)$ ، ومن خلال (2) تم الحصول على البعد الكسوري للمتسلسلة الزمنية (D) مع وجود حالة انتظام من خلال اختبار الفوضى (1-0). ففي هذه الحالة أظهرت قابلية التنبؤ للسلسلة الغذائية معتمدة على المتغيرات (X, Y, Z) ، بحيث أن $PI_F = (PI_X, PI_Y, PI_Z) = (0.58, 0.566, 0.636)$. أما في حالة كون $a=3.55$, $b=3.7$, $c=3.6$, $d=3.5$, $r=3.8$ ، فالمتسلسلة في هذه الحالة تكون ضد ثبات التواصل لأن آسيّة هيست $(H_x, H_y, H_z)=(0.31, 0.39, 0.28)$ ، ومن خلال العلاقة (2) تم الحصول على البعد الكسوري للمتسلسلة الزمنية (D) مع وجود حالة الفوضى من خلال اختبار (1-0) للفوضى. ففي هذه الحالة أظهرت ضعف قابلية التنبؤ للسلسلة الغذائية معتمدة على المتغيرات (X, Y, Z) ، والمأخذة من العلاقة (3) $PI_F = (PI_X, PI_Y, PI_Z) = (0.38, 0.22, 0.44)$.



الشكل (9)

مخطط اتجاه ميل (H) و $\log(t)$ عكس $\log(R/S)$ لنظام السلسلة الغذائية بحيث أن المعلمات هي $a=3.55$, $b=3.7$, $c=3.6$, $d=3.5$, $r=3.8$ (A) عندما $a=2.92$, $b=3.7$, $c=3.6$, $d=3.5$, $r=3.8$ (B).

وللوضيح النتائج بصورة كاملة انظر إلى الجدول(1).

الجدول(1) ملخص اختبارات السلسلة الغذائية

الاختبار الثاني للفوضى	فضاء الطور	مخططات التشعب	مؤشر التنبؤ PI_F	البعد الكسوري	آسيّة هيست	المتغيرات	معلمة التشعب
---------------------------	------------	------------------	-----------------------	------------------	---------------	-----------	-----------------

$K \approx 0$	دورية (دورة النهاية)	منتظم	0.58	1.79	0.22	X	a=2.92
			0.566	1.783	0.217	Y	
			0.636	1.818	0.182	Z	
$K \approx 1$	فوضوية	فوضوي	0.38	1.69	0.31	X	a=3.55
			0.22	1.61	0.39	Y	
			0.44	1.72	0.28	Z	

(Conclusions)

الاستنتاجات

- إن آسية هيرست بالطريقة المحدثة للسلسلة الغذائية هي ضد ثبات التواصل في أكثر حالاته.
- مؤشرات قابلية التبؤ للسلسلة الغذائية تزداد كلما ازدادت آسية هيرست بالقرب من الواحد أو الصفر وتقل كلما اقتربت من 0.5.
- النظام (1) يحتوي على خمسة نقاط ثابتة P_1, P_2, P_3, P_4 هي نقطة التوازن الحدودية وان P_5 هي نقطة التوازن الداخلي للنظام.
- نظام السلسلة الغذائية هو نظام فوضوي للمعلمات الرئيسية a و c حسب اختبار (1-0) للفوضى، عند النقطة الثابتة P_5 التي تعتبر نقطة التوازن الداخلي، وللسبيطه على الفوضى يجب ان تكون المعلمة a ضمن الفترة [2.8,3]، والمعلمة c ضمن الفترة [3.55,3.65] حسب مخطط التشعب.
- نقطة التوازن الداخلي P_5 تفقد استقرارها من خلال مخطط التشعب، ونمو في مستويات النموذج للزمن المتقطع من خلال المحاكاة العددية التي تم تحليل خصائصها الأساسية المتعلقة بفضاء الطور ومخططات التشعب واختبار (1-0).

(References)

المصادر

- [1] عزيز، ميسون مال الله & حامد، محمد أمير، (2013)، "تحديث خوارزمية آسية هيرست مع التطبيق على حالات المناخ بمدينة الموصل" ، بحث مقبول وقيد النشر في مجلة الرافدين لعلوم الحاسوب والرياضيات، جامعة الموصل.
- [2] Aziz, M.M. & Faraj, M.N., (2012), "Numerical and Chaotic Analysis of CHUA'S CIRCUIT", Journal of Emerging Trends in Computing and Information Sciences, VOL. 3, NO. 5, ISSN 2079-8407.
- [3] Elaydi, S. N., (2008), "An Introduction to Difference Equations", Third Edition, Springer International Edition, First Indian Reprint.
- [4] Elsadan, A.A., (2012), "Dynamical complexities in a discrete-time food chain", Computational Ecology and Software, 2(2),124 – 139.

- [5] Granero, M.A. S. & Segovia, J.E.T. & Pérez, J.G., (2008), “Some comments on Hurst exponent and the long memory processes on capital markets”, Elsevier, Physica A 387, 5543–5551.
- [6] Hastings, A. & Powell, T., (1991), “Chaos in three-species food chain”, Ecology, Vol.72, No.3, 896-903.
- [7] Holling, C.S., (1965), “The functional response of predator to prey density and its role in mimicry and population regulation”, Memoirs of the Entomological Society of Canada, vol. 45, 1–60.
- [8] Hurst, H.E., (1951), “Long-term storage of reservoirs: an experimental study”, Transactions of the American Society of Civil Engineers, Vol. 116, 770-799.
- [9] Lotka, A.J., (1925), “Elements of Physical Biology”, Williams & Wilkins Co., Baltimore.
- [10] Malthus, T.R., (1798), “An Essay on the Principle of Population”, Printed for J. Johnson, in St. Pauls Church-Yard, London.
- [11] Mandelbrot, B.B. & Wallis, J.R., (1969), “Robustness of the rescaled range R/S in the measurement of noncyclic long run statistical dependence”, Water Resources Research, Vol. 5, Issue 5, 967–988.
- [12] Mittal, A. & Bhardwaj, R., (2011), “PREDICTABILITY INDEX FRACTAL DIMENSION AND HURST EXPONENT ESTIMATION OF INDIAN AIR POLLUTION PARAMETERS”, International journal of Advanced Scientific and Technical Research, Issue 1, Vol. 2, ISSN 2249-9954.
- [13] Raj, M.R.S. & Selvam, A.G.M. & Janagaraj, R. & Pushparajan, D., (2013), “Dynamical Behavior in a Three Species Discrete Model of Prey-Predator Interactions”, International Journal of Computational Science and Mathematics, ISSN 0974-3189 Vol. 5, N. 1, 11-20.
- [14] Rehman, S., (2009), “Study of Saudi Arabian climatic conditions using Hurst exponent and climatic predictability index”, Elsevier, Chaos Solutions and Fractals 39, 499–509.
- [15] Volterra, V., (1962), “Opere matematiche:memorie e note”, Vol. V. Roma (Cremon), Acc. Naz. dei Lincei, Italy.
- [16] Wiggins, S., (1990), “An Introduction to Applied Nonlinear Dynamics and Chaos”, Springer-Verlag, New York, USA.